

## ЕКСПЕРИМЕНТАЛЬНОЕ ИССЛЕДОВАНИЕ РАЗРУШЕНИЯ ОПЫТНЫХ ОБРАЗЦОВ ДРЕВЕСИНЫ СОСНЫ ПРИ ПРЯМОМ ВОЗДЕЙСТВИИ НА НИХ БОЛЬШИХ ИМПУЛЬСНЫХ ТОКОВ ИСКУССТВЕННОЙ МОЛНИИ

*Надані результати виконаних натурних експериментів по електродинамічному руйнуванню дослідних зразків "живої" і "мертвої" деревини сосни, що випробовують пряму дію сильнострумного плазмового каналу іскрового розряду з великим імпульсним струмом штучної блискавки.*

*Приведены результаты выполненных натурных экспериментов по электродинамическому разрушению опытных образцов "живой" и "мертвой" древесины сосны, испытывающих прямое воздействие сильноточного плазменного канала искрового разряда с большим импульсным током искусственной молнии.*

### ВВЕДЕНИЕ

Для прогнозирования поведения при прямом ударе молнии (ПУМ) строительных деревянных элементов (траверс, стоек и др.) опор воздушных линий электропередачи (ЛЭП) и деревянных kleеных конструкций (ДКК), определяющих несущую способность и изоляционные свойства ряда объектов высоковольтной импульсной техники (ВИТ) [1, 2], и дальнейшего изучения физико-механических процессов при ПУМ в деревянные насаждения парков и лесов [3] требуются как расчетные, так и опытные данные по электродинамической стойкости в воздушной атмосфере "живой" (растущей) и "мертвой" (резанной) древесины различных пород к действию на нее больших импульсных токов (БИТ) линейной молнии. В настоящее время в области электроэнергетики и ВИТ вопросы, связанные со стойкостью указанной древесины к ПУМ, характеризующемуся протеканием в его плазменном канале искрового разряда импульсного тока амплитудой в десятки (сотни) килоампер при его длительности в десятки (сотни) микросекунд [4], исследованы слабо и недостаточно полно для подготовки и выдачи специалистам нормативно-технических и ремонтно-эксплуатационных служб соответствующих практических рекомендаций. Поэтому изучение механизмов разрушения при ПУМ "живой" и "мертвой" древесины хвойных пород, из которой обычно изготавливаются опоры ЛЭП и ДКК объектов ВИТ, и определение ее электродинамической стойкости к действию протекающих по ней БИТ, сопровождающих ПУМ в ее пористую структуру с трахеидами, заполненными в зоне камбия для "живой" древесины восходящими (низходящими) соками (жидкими электролитами), а для "мертвой" древесины на ее периферии водосодержащими составами [2, 5], являются актуальными научно-техническими задачами в области техники и электрофизики высоких напряжений, больших токов, сильных электрических и магнитных полей.

### 1. ПОСТАНОВКА ЗАДАЧИ ПО ЭКСПЕРИМЕНТАЛЬНОМУ ИССЛЕДОВАНИЮ РАЗРУШЕНИЯ ОПЫТНЫХ ОБРАЗЦОВ ДРЕВЕСИНЫ СОСНЫ ИМПУЛЬСНЫМ ТОКОМ ИСКУССТВЕННОЙ МОЛНИИ

Полагаем, что в качестве испытываемых опытных образцов у нас будут выступать образцы "живой" и "мертвой" древесины сосны, размеры которых опреде-

ляются объемом имеющейся древесины и техническими возможностями высоковольтной испытательной установки, сильноточная разрядная цепь которой построена на основе генератора импульсной А- компоненты тока искусственной молнии (генератора импульсного тока ГИТ-А) [4, 6]. Пусть наружный диаметр опытных образцов древесины составляет  $d_H=100$  мм, а их высота равна  $h_H=50$  мм. Образцы "живой" древесины будем изготавливать на токарном станке из свежесрезанной непосредственно перед испытаниями сосны диаметром около 104 мм, а образцы "мертвой" древесины – из пролежавшего не менее шести месяцев в закрытом помещении при комнатной температуре ствола сосны аналогичного диаметра. Принимаем, что опытные образцы 2 древесины сосны в процессе электродинамических испытаний размещаются и жестко закрепляются в двухэлектродной системе (ДЭС) генератора ГИТ-А, состоящей из верхнего круглого массивного медного электрода 1 и нижнего плоского массивного алюминиевого электрода 4 размером  $0,5 \times 0,5$  м<sup>2</sup> (рис. 1). Для ввода сильноточного плазменного канала разряда от генератора ГИТ-А внутрь опытных образцов используем тонкий электрически взрывающийся проводник (ЭВП) 3 из меди.

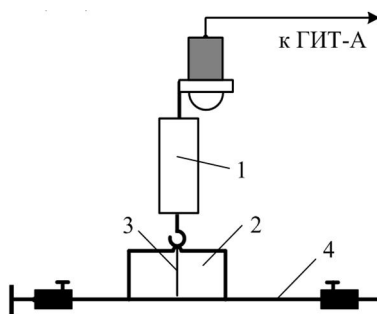


Рис. 1. Схематическое изображение ДЭС с опытным образцом древесины сосны в разрядной цепи высоковольтного генератора ГИТ-А для получения импульсной А- компоненты тока искусственной молнии (1 – верхний круглый массивный медный электрод ДЭС; 2 – круглый опытный образец древесины сосны; 3 – тонкий медный ЭВП; 4 – нижний плоский массивный алюминиевый электрод ДЭС)

Данный тонкий медный ЭВП (диаметром  $d_{\Pi}=0,2$  мм и длиной  $l_{\Pi}=50$  мм) будем размещать на периферии испытываемых опытных образцов древесины в

специально просверленном для него круглом продольном отверстии диаметром  $d_0=3$  мм и длиной  $l_0=50$  мм. На рис. 2 показан внешний вид размещения и закрепления в ДЭС генератора ГИТ-А опытного образца древесины сосны с принятymi габаритными размерами, а на рис. 3 – внешний вид самих испытываемых круглых образцов из "живой" и "мертвой" древесины сосны со сквозными отверстиями ( $d_0=3$  мм и  $l_0=50$  мм) на их периферии под размещение в них тонкого медного ЭВП, отстоящими по радиусу от боковой поверхности исследуемых образцов на расстоянии, равном 5 мм.



Рис. 2. Внешний вид перед испытанием ДЭС в разрядной цепи высоковольтного генератора ГИТ-А с жестко закрепленным в ней круглым опытным образцом древесины сосны наружным диаметром  $d_H=100$  мм и высотой  $h_H=50$  мм

На рис. 4 приведена электрическая схема разрядной цепи высоковольтного генератора ГИТ-А, примененного нами при электродинамических испытаниях опытных образцов древесины сосны. В состав данной схемы генератора ГИТ-А входит генератор высоковольтных поджигающих импульсов (ГВПИ) на рабочее напряжение  $\pm 100$  кВ для запуска коммутатора  $F_1$ .

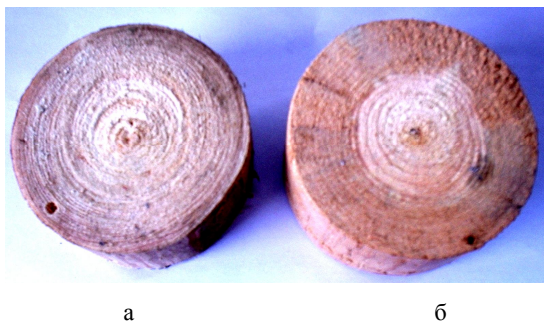


Рис. 3. Внешний вид испытываемых цилиндрических опытных образцов "живой" (слева – вид "а") и "мертвой" (справа – вид "б") древесины сосны наружным диаметром  $d_H=100$  мм и высотой  $h_H=50$  мм с круглым сквозным отверстием на их периферии (диаметром  $d_0=3$  мм и длиной  $l_0=50$  мм) под вертикальную установку в него тонкого медного ЭВП

Основные собственные электрические параметры разрядной цепи генератора ГИТ-А (без учета параметров ДЭС) согласно рис. 4 имели следующие численные

значения [6, 7]:  $C_A=333$  мкФ;  $L_A=2,5$  мкГн;  $R_A=0,057$  Ом;  $L_T=0,4$  мкГн;  $R_T=0,03$  Ом. При длине 0,36 м верхнего 1 медного электрода ДЭС величина индуктивности  $L_D$  будет примерно равной 0,41 мкГн. Активное сопротивление сплошной медной жилы диаметром 6,6 мм данного электрода ДЭС составляет 0,2 мОм, что позволяет пренебречь его влиянием на электромагнитные процессы в разрядной цепи генератора ГИТ-А. Значение активного сопротивления  $R_D$  будет определяться электродинамическими процессами в плазменном канале искрового разряда, образуемом после наступления явления электрического взрыва тонкого медного ЭВП 3 ( $d_{\Pi}=0,2$  мм;  $l_{\Pi}=50$  мм), размещенного в сквозном продольном отверстии ( $d_0=3$  мм;  $l_0=50$  мм) испытываемого опытного образца "живой" или "мертвой" древесины сосны. Разделительная емкость  $C_P$  в схеме на рис. 4 принята равной 180 пФ.

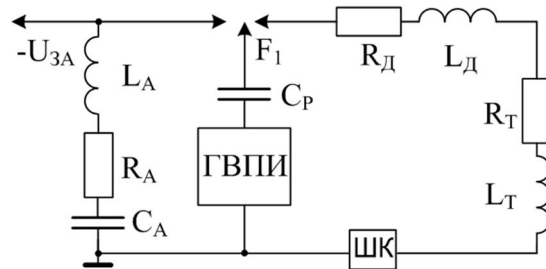


Рис. 4. Принципиальная электрическая схема сильноточной разрядной цепи высоковольтного генератора ГИТ-А с ГВПИ и измерительным шунтом ШК, используемой при формировании на электрической нагрузке (на размещенном внутри опытного образца древесины сосны тонком медном ЭВП) и сопротивлениях рабочего стола ГИТ-А ( $R_T$  и  $L_T$ ) импульсной  $A$ - компоненты тока искусственной молнии [6, 7]

Полярность зарядного напряжения  $U_{3A}$  мощного емкостного накопителя энергии (ЕНЭ) генератора ГИТ-А (см. схему на рис. 4), как и полярность первых полуволн импульсного тока (однонаправленно движущихся зарядов в токовом канале при ПУМ) большинства линейных молний в воздушной атмосфере, выбиралась отрицательной, а его величина определялась условиями экспериментов. При измерении амплитудно-временных параметров (АВП) импульсных токов микросекундного временного диапазона, протекающих через тонкий медный ЭВП и соответственно вдоль полых микротрахеид пористой макроскопической структуры опытных образцов древесины, был применен метрологически поверенный коаксиальный шунт (ШК) типа ШК-300, имеющий для импульсной  $A$ - компоненты тока искусственной молнии коэффициент преобразования, равный  $K_A=11261$  А/В [6, 8].

## 2. РЕЗУЛЬТАТЫ ЭКСПЕРИМЕНТОВ ПО РАЗРУШЕНИЮ ОПЫТНЫХ ОБРАЗЦОВ ДРЕВЕСИНЫ СОСНЫ ИМПУЛЬСНЫМ ТОКОМ ИСКУССТВЕННОЙ МОЛНИИ

На рис. 5 представлены результаты воздействия импульсной  $A$ - компоненты тока искусственной молнии на опытный образец "живой" древесины сосны при зарядном напряжении генератора ГИТ-А, равном  $U_{3A}=-10$  кВ. На рис. 6 приведена осциллограмма протекающего в этом случае по тонкому медному ЭВП и

опытному образцу "живой" древесины сосны разрядного тока генератора ГИТ-А, полученная при помощи измерительного шунта типа ШК-300 и цифрового запоминающего осциллографа типа *Tektronix TDS 1012* (масштаб по вертикали – 2 В/клетка; масштаб по горизонтали – 50 мкс/клетка). Согласно данным рис. 6 первая (наибольшая) отрицательная амплитуда имитированного в полевых лабораторных условиях импульсного тока молнии принимает значение, численно равное примерно  $I_{mA}=5,84$  В $\times$ 11261 А/В=65,7 кА. Отметим, что согласно рис. 6 этой токовой амплитуде  $I_{mA}$  соответствуют время, равное  $t_{mA}=34$  мкс. Из данных рис. 5 видно, что при указанных значениях  $U_{3A}$  и  $I_{mA}$  происходит локальное разрушение испытываемого круглого деревянного образца из сосны. Проведенные эксперименты показали, что при меньших значениях зарядного напряжения  $U_{3A}$  ЕНЭ генератора ГИТ-А и соответственно первых амплитуд  $I_{mA}$  импульсной  $A-$  компоненты тока искусственной молнии разрушений (раскалывания) пористой структуры образцов "живой" древесины сосны не наблюдается. Кроме того, на рис. 5 рядом с опытным образцом испытываемой древесины хорошо виден оплавленный "след" (диаметром около  $d_{A1}=46$  мм) от воздействия на горизонтально расположенный нижний плоский алюминиевый электрод 4 ДЭС толщиной 2 мм плазменного канала искрового разряда с указанными АВП протекающего по нему импульсного тока искусственной молнии.



Рис. 5. Внешний вид нижней части ДЭС разрядной цепи высоковольтного генератора ГИТ-А, зоны разрушения и отдельных расколанных током молнии элементов опытного образца "живой" древесины сосны диаметром  $d_H=100$  мм и высотой  $h_H=50$  мм при  $U_{3A}=-10$  кВ и  $I_{mA}=65,7$  кА

На рис. 7 для сравнения с данными, соответствующими на рис. 6 АВП разрядного тока генератора ГИТ-А при локальном разрушении опытного образца

"живой" древесины сосны, приведена осциллограмма импульсной  $A-$  компоненты тока искусственной молнии в сильноточной цепи высоковольтного генератора ГИТ-А по схеме рис. 4, разряжающегося только на размещенный в воздухе тонкий медный ЭВП 3 без наличия в ДЭС опытного образца 2 древесины сосны.

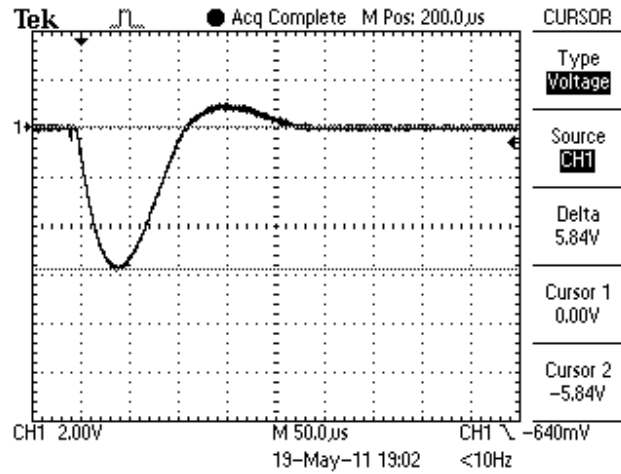


Рис. 6. Осциллограмма импульсной  $A-$  компоненты тока искусственной молнии при сильноточном разряде высоковольтного генератора ГИТ-А на тонкий медный ЭВП (диаметром  $d_P=0,2$  мм и длиной  $l_P=50$  мм), вертикально установленный на воздухе в отверстии (диаметром  $d_O=3$  мм и длиной  $l_O=50$  мм) локально разрушающегося опытного образца "живой" древесины сосны наружным диаметром  $d_H=100$  мм и высотой  $h_H=50$  мм ( $U_{3A}=-10$  кВ;  $I_{mA}=65,7$  кА)

Расшифровка осциллограммы воздействующего на опытный образец "живой" древесины сосны разрядного тока генератора ГИТ-А (см. рис. 6) показывает, что при периоде его колебаний  $T_{A1}=215$  мкс амплитуда второй положительной полуволны рассматриваемой компоненты тока имитированной молнии принимает численное значение 10,4 кА, а амплитуда ее третьей отрицательной полуволны – около 1,6 кА.

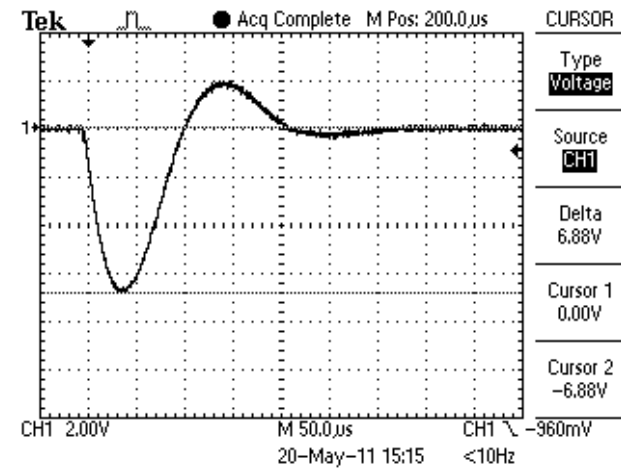


Рис. 7. Осциллограмма импульсной  $A-$  компоненты тока искусственной молнии при сильноточном разряде высоковольтного ГИТ-А на тонкий медный ЭВП (диаметром  $d_P=0,2$  мм и длиной  $l_P=50$  мм), вертикально установленный на воздухе без опытного образца древесины сосны над горизонтально расположенным нижним плоским массивным алюминиевым электродом ДЭС ( $U_{3A}=-10$  кВ;  $I_{mA}=77,4$  кА)

В этой связи логарифмический декремент колебаний  $\Delta_{A1}$  тока искусственной молнии в этом случае составит около 3,78, что при  $T_{A1}=215$  мкс обуславливает численное значение коэффициента его затухания  $\delta_{A1}$ , равное  $17,6 \cdot 10^3$  с<sup>-1</sup>. При суммарной индуктивности  $L_{AC}$  разрядной цепи генератора ГИТ-А в 3,31 мГн и указанном значении  $\delta_{A1}$  суммарное активное сопротивление  $R_{AC1}$  данной цепи будет равным 116,4 мОм. В результате при  $R_A=57$  мОм и  $R_T=30$  мОм опытное активное сопротивление  $R_{k1}$  сильноточного плазменного канала искрового разряда в опытном образце "живой" древесины сосны составит величину, равную 29,4 мОм. При удельной электропроводности  $\gamma_{k1}$  плазмы в сильноточном канале искрового разряда, характерного для импульсной А- компоненты тока искусственной молнии и используемого нами для электро-динамических испытаний рассматриваемого образца древесины сосны, приближенно равной  $1625$  (Ом·м)<sup>-1</sup> [7] данному активному сопротивлению разрядного канала  $R_{k1}=29,4$  мОм будет соответствовать расчетный максимальный радиус  $r_{k1}$  плазменного канала длиной  $l_k=l_{\Pi}=h_H=50$  мм внутри испытываемого круглого образца древесины сосны, составляющий согласно приведенным в [7, 9] оценочным соотношениям примерно 18,2 мм (при опытном радиусе на рис. 5 оплавленного "следа" на плоской поверхности нижнего алюминиевого электрода ДЭС под испытываемым образцом древесины примерно в  $r_{A1}=23$  мм). Что касается осциллограммы разрядного тока генератора ГИТ-А, приведенной на рис. 7, то при амплитуде его первой отрицательной полуволны  $I_{mA}=6,88$  В×11261 А/В=77,4 кА ( $t_{mA}=34$  мкс) амплитуда его второй положительной полуволны равна 20,3 кА, а третьей отрицательной полуволны – 3,4 кА. Поэтому при периоде колебаний  $T_{A2}=210$  мкс этой кривой разрядного тока в цепи высоковольтного генератора ГИТ-А ( $U_{3A}=-10$  кВ) соответствует коэффициент его затухания  $\delta_{A2}$ , равный  $14,9 \cdot 10^3$  с<sup>-1</sup>. При прежней суммарной индуктивности  $L_{AC}=3,31$  мГн разрядной цепи генератора ГИТ-А и указанном значении  $\delta_{A2}$  суммарное активное сопротивление  $R_{AC2}$  в ней становится равным примерно 98,5 мОм. Такая величина  $R_{AC2}$  при  $R_A=57$  мОм и  $R_T=30$  мОм приводит к опытному значению активного сопротивления  $R_{k2}$  сильноточного плазменного канала искрового разряда в атмосферном воздухе (при его комнатной температуре в 20 °C), численно составляющему примерно 11,5 мОм. Из представленных выше экспериментальных данных, соответствующих опытным осциллограммам импульсного тока в сильноточных плазменных каналах искровых разрядов согласно рис. 6 и 7, следует, что размещение исследуемого круглого опытного образца "живой" древесины сосны ( $d_H=100$  мм и  $h_H=50$  мм) в ДЭС цепи разряда ЕНЭ генератора ГИТ-А приводит к внесению в нее (этую цепь) дополнительного активного сопротивления ( $R_{k1}-R_{k2}\right)=\left(29,4-11,5\right)$  мОм=17,9 мОм. При длине сильноточного плазменного канала искрового разряда в опытном образце "живой" древесины сосны, равной  $l_k=l_{\Pi}=h_H=50$  мм, этому дополнительному активному сопротивлению в цепи разряда ГИТ-А будет соответствовать его погонное активное сопротивле-

ние, составляющее до 17,9 мОм/50 мм=0,36 мОм/мм.

На рис. 8 представлены результаты воздействия импульсной А- компоненты тока искусственной молнии на опытный образец "мертвой" древесины сосны при зарядном напряжении генератора ГИТ-А, равном  $U_{3A}=-7$  кВ. Данному значению напряжения  $U_{3A}$  соответствует осциллограмма разрядного тока ГИТ-А в образце указанной древесины, приведенная на рис. 9.

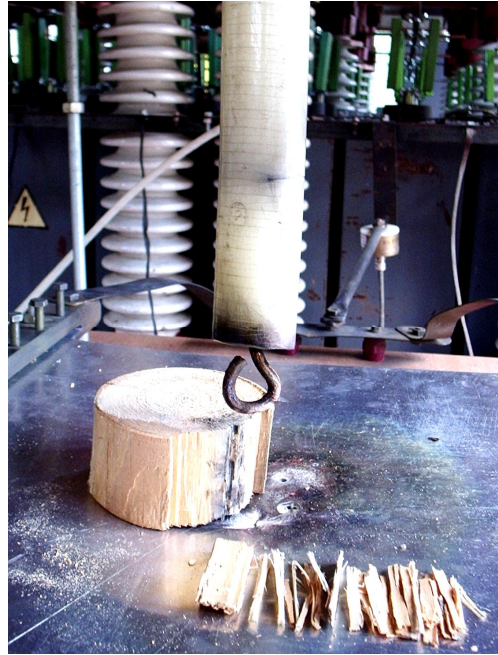


Рис. 8. Внешний вид нижней части ДЭС разрядной цепи высоковольтного генератора ГИТ-А, зоны разрушения и отдельных расколанных током молнии элементов опытного образца "мертвой" древесины сосны диаметром  $d_H=100$  мм и высотой  $h_H=50$  мм при  $U_{3A}=-7$  кВ и  $I_{mA}=41,4$  кА

Выполненные нами эксперименты показали, что при меньших значениях напряжения  $U_{3A}$  опытные образцы "мертвой" древесины сосны не разрушаются.

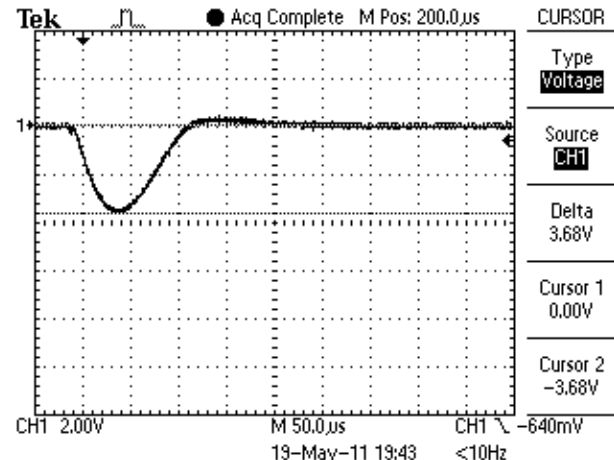


Рис. 9. Осциллограмма импульсной А- компоненты тока искусственной молнии при сильноточном разряде ГИТ-А на тонкий медный ЭВП (диаметром  $d_{\Pi}=0,2$  мм и длиной  $l_{\Pi}=50$  мм), вертикально установленный на воздухе в отверстии диаметром  $d_O=3$  мм и длиной  $l_O=50$  мм локально разрушающегося образца "мертвой" древесины сосны диаметром  $d_H=100$  мм и высотой  $h_H=50$  мм ( $U_{3A}=-7$  кВ;  $I_{mA}=41,4$  кА)

На рис. 10 показана осциллограмма импульсного тока разряда в цепи генератора ГИТ-А при  $U_{3A}=-7$  кВ, содержащей лишь расположенный на воздухе медный ЭВП 3 (без наличия в ДЭС образца древесины 2). Отметим, что на рис. 9 и 10 использованы прежние, как и на рис. 6 и 7, масштабы по вертикали – 2 В/клетка и по горизонтали – 50 мкс/клетка. Согласно данным рис. 9 кривая разрядного тока в сильноточном плазменном канале, электродинамическим путем локально разрушающем (раскалывающим) образец из "мертвой" древесины сосны, приближается к апериодическому режиму. При периоде колебаний  $T_{A3}=210$  мкс и логарифмическом декременте колебаний  $\Delta_{A3}$ , численно составляющим 3,94, импульсный ток разряда генератора ГИТ-А характеризуется коэффициентом затухания  $\delta_{A3}$ , примерно равным  $18,7 \cdot 10^3$  с<sup>-1</sup>. Для суммарной индуктивности сильноточной электрической цепи разряда высоковольтного ГИТ-А в  $L_{AC}=3,31$  мГн такая величина  $\delta_{A3}$  определяет ее опытное суммарное активное сопротивление, равное  $R_{AC3}=123,8$  мОм. Тогда при  $R_A=57$  мОм и  $R_T=30$  мОм из осциллограммы тока на рис. 9 следует, что опытное значение вносимого в разрядную цепь ГИТ-А активного сопротивления  $R_{k3}$  развивающимся в образце "мертвой" древесины сосны плазменным каналом составляет 36,8 мОм, что при удельной электропроводности канальной плазмы до  $\gamma_{k2}=1625$  (Ом·м)<sup>-1</sup> [7] обуславливает его расчетный радиус согласно [7, 9] примерно в 16,3 мм (при опытном радиусе оплавленного "следа" на плоской поверхности нижнего алюминиевого электрода ДЭС под испытываемым образцом древесины сосны в соответствии с данными рис. 8 и 11 около  $r_{A2}=19$  мм).

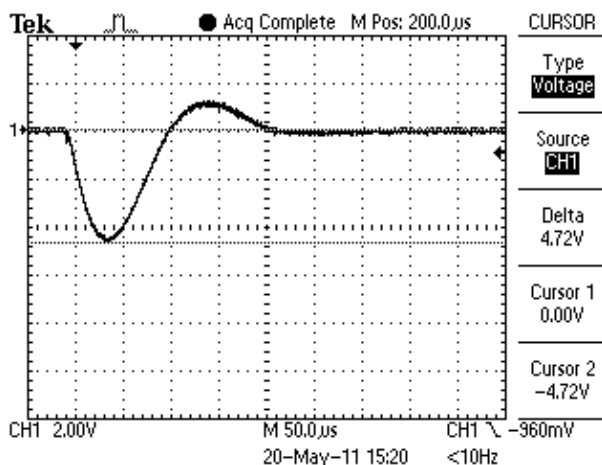


Рис. 10. Осциллограмма импульсной А-компоненты тока искусственной молнии при сильноточном разряде высоковольтного ГИТ-А на тонкий медный ЭВП диаметром  $d_{\Pi}=0,2$  мм и длиной  $l_{\Pi}=50$  мм, вертикально установленный на воздухе без опытного образца древесины сосны над горизонтально расположенным нижним плоским массивным алюминиевым электродом ДЭС ( $U_{3A}=-7$  кВ;  $I_{mA}=53,1$  кА)

Из расшифровки токовой осциллограммы на рис. 10 получаем, что в этом случае разрядный ток генератора ГИТ-А характеризуется периодом колебаний  $T_{A4}=210$  мкс и логарифмическим декрементом колебаний, примерно равным  $\Delta_{A4}=3,27$ . В этой связи при прежнем значении в цепи разряда ЕНЭ используемого

генератора ГИТ-А суммарной индуктивности  $L_{AC}=3,31$  мГн коэффициент затухания импульсного тока принимает численное значение около  $15,6 \cdot 10^3$  с<sup>-1</sup>. Поэтому здесь опытное суммарное активное сопротивление  $R_{AC4}$  в разрядном контуре ГИТ-А будет приближенно составлять 103,1 мОм, что при неизменных значениях  $R_A=57$  мОм и  $R_T=30$  мОм определяет активное сопротивление  $R_{k4}$  плазменного канала воздушного искрового разряда в ДЭС, равное примерно 16,1 мОм. В результате этого размещение исследуемого цилиндрического опытного образца "мертвой" древесины сосны ( $d_H=100$  мм и  $h_H=50$  мм) в ДЭС разрядной цепи мощного ЕНЭ генератора ГИТ-А приводит к внесению в данную цепь дополнительного активного сопротивления ( $R_{k3}-R_{k4}\right)=\left(36,8-16,1\right)$  мОм=20,7 мОм. С учетом этого количественного результата при заданной длине (высоте) опытных образцов "мертвой" древесины сосны ( $h_H=50$  мм) дополнительное погонное активное сопротивление, вносимое исследуемой древесиной в электрическую цепь протекания импульсной А-компоненты тока искусственной молнии, численно составит около 20,7 мОм/50 мм=0,41 мОм/мм.

На рис. 11 приведены внешние виды округлых зон поверхностного оплавления плоского алюминиевого электрода ДЭС, полученных при помощи генератора ГИТ-А и его сильноточных плазменных каналов искровых разрядов, локально разрушающих по всей длине (высоте) исследуемые образцы "живой" и "мертвой" древесины сосны в области их периферии.



Рис. 11. Внешний вид двух круглых зон оплавления и деформации горизонтально расположенного нижнего плоского алюминиевого электрода ДЭС толщиной 2 мм от воздействия на него вертикально ориентированных сильноточных плазменных каналов тока искусственной молнии (слева – диаметром до  $d_{A1}=46$  мм при разрушении "живой" древесины сосны и  $I_{mA}=65,7$  кА, а справа – диаметром до  $d_{A2}=38$  мм при разрушении "мертвой" древесины сосны и  $I_{mA}=41,4$  кА)

## ЗАКЛЮЧЕНИЕ

1. Экспериментальным путем при помощи уникального низкоомного высоковольтного генератора БИТ, размещенного на экспериментальной базе НИПКИ "Молния" НТУ "ХПИ", впервые для цилиндрических опытных образцов "живой" и "мертвой" древесины сосны определены критические амплитудные значения импульсной А-компоненты тока искусственной молнии (соответственно величины  $I_{mK1}=65,7$  кА и  $I_{mK2}=41,4$  кА), вызывающие при ее прямом воздействии на макроструктуру исследуемой древесины, содержащую множество природно скрепленных (склеенных) между собой лигнином продольно ориентированных вдоль указанных образцов древесины микротрахеид, электродинамическое локальное раз-

рушение древесины сосны путем ее раскалывания. Установлено, что "живая" древесина сосны по сравнению с "мертвой" древесиной сосны характеризуется более высокими показателями ( $I_{mK1} > I_{mK2}$ ) своей электродинамической стойкости к прямому действию на нее БИТ, сопровождающих протекание импульсной  $A$ - компоненты тока искусственной молнии.

2. Показано, что размещение опытных образцов "живой" и "мертвой" древесины сосны в ДЭС сильно-точной разрядной цепи низкоомного высоковольтного генератора ГИТ- $A$ , имитирующего в полевых лабораторных условиях импульсную  $A$ - компоненту тока искусственной молнии, приводит к внесению в данную электрическую цепь импульсного источника энергии дополнительного активного сопротивления, численно составляющего по отношению к единице длины (высоты) испытываемых образцов древесины сосны погонную величину до 0,41 мОм/мм.

3. Пористая макроскопическая структура опытных образцов "живой" и "мертвой" древесины сосны вызывает определенное поперечное радиальное стягивание (уменьшение площади поперечного сечения не менее чем на 25 %) сильно-точного плазменного канала искрового разряда, привязываемого к их торцевой поверхности и продольно развивающегося вдоль их внутренней структуры, построенной на основе прилегающих друг к другу полых микротрахеид.

#### СПИСОК ЛИТЕРАТУРЫ

1. Рудаков В.В., Недзельский О.С. Исследование импульсной электрической прочности крупногабаритных kleenых деревянных конструкций // Вестник ХПИ. Серия "Электроэнергетика и автоматизация энергоустановок". – Харьков: ХПИ. – 1993. – Вып. № 18. – С. 73-77.
2. Баранов М.И., Лысенко В.О. Приближенные модели электродинамического разрушения древесины в атмосферном воздухе под действием прямого удара в нее линейной молнии // Вісник НТУ "ХПІ". Збірник наукових праць. Тематичний випуск: Техніка та електрофізика високих напруг. – Харків: НТУ "ХПІ". – 2009. – № 39. – С. 10-18.
3. <http://ru.wikipedia.org/wiki/молния>.
4. Баранов М.И. Избранные вопросы электрофизики: Монография в 2-х томах. Том 2, Кн. 2: Теория электрофизических эффектов и задач. – Харьков: Изд-во "Точка", 2010. – 407 с.
5. Баранов М.И., Лысенко В.О. Явление высоковольтного электроосмоса в капиллярах "живой" древесины. Гипотеза возникновения и расчетная оценка // Вісник НТУ "ХПІ". Збірник наукових праць. Тематичний випуск: Техніка та електрофізика високих напруг. – Харків: НТУ "ХПІ". – 2010. – № 18. – С. 26-33.
6. Баранов М.И., Колиушко Г.М., Кравченко В.И. и др. Генератор тока искусственной молнии для натурных испытаний технических объектов // Приборы и техника эксперимента. – 2008. – № 3. – С. 81-85.
7. Баранов М.И., Колиушко Г.М., Лысенко В.О. Экспериментальное определение активного сопротивления и электропроводности сильно-точного плазменного канала в разрядной цепи генератора импульсной компоненты тока искусственной молнии // Електротехніка і електромеханіка. – 2011. – № 3. – С. 51-55.
8. Баранов М.И., Кравченко В.И., Носенко М.А. Экспериментальные исследования электротермической стойкости металлических элементов летательного аппарата к прямому воздействию тока искусственной молнии. Часть 2: Стойкость медных проводов и кабелей // Електротехніка і електромеханіка. – 2011. – № 2. – С. 46-55.
9. Баранов М.И., Колиушко Г.М., Лысенко В.О. и др. Экспериментальная оценка электрического сопротивления и электропроводности сильно-точного плазменного канала в цепи разряда мощного генератора тока искусственной молнии // Електротехніка і електромеханіка. – 2011. – № 1. – С. 61-64.

**Bibliography (transliterated):** 1. Rudakov V.V., Nedzel'skij O.S. Icledovanje impul'snoj elektricheskoj prochnosti krupnogabaritnyh kleenyh derevyannyh konstrukcij // Vestnik HPI. Seriya "Elektroenergetika i avtomatizacija energoustanovok". – Har'kov: HPI. – 1993. – Vyp. № 18. – S. 73-77. 2. Baranov M.I., Lysenko V.O. Priblizhennye modeli elektrodinamicheskogo razrusheniya drevesiny v atmosfernom vozduhe pod dejstvijem pyramogo udara v nee linejnnoj molnii // Visnik NTU "HPI". Zbirnik naukovih prac'. Tematichniy vypusk: Tehnika ta elektrofizika visokih naprug. - Harkiv: NTU "HPI". – 2009. – № 39. – S. 10-18. 3. <http://ru.wikipedia.org/wiki/molniya>. 4. Baranov M.I. Izbrannye voprosy elektrofiziki: Monografiya v 2-h tomah. Tom 2, Kn. 2: Teoriya elektrofizicheskikh effektov i zadach. – Har'kov: Izd-vo "Tochka", 2010. – 407 s. 5. Baranov M.I., Lysenko V.O. Yavlenie vysokovoltnogo elektroosmosa v kapillyarakh "zhivoj" drevesiny. Gipoteza vozniknoveniya i raschetnaya ocenka // Visnik NTU "HPI". Zbirnik naukovih prac'. Tematichniy vypusk: Tehnika ta elektrofizika visokih naprug. - Harkiv: NTU "HPI". – 2010. – № 18. – S. 26-33. 6. Baranov M.I., Koliushko G.M., Kravchenko V.I. i dr. Generator toka iskusstvennoj molnii dlya naturnyh ispytanij tehnicheskikh ob'ektor // Pribyrty i tekhnika eksperimenta. – 2008. – № 3. – S. 81-85. 7. Baranov M.I., Koliushko G.M., Lysenko V.O. Eksperimental'noe opredelenie aktivnogo sопrotivleniya i elektroprovodnosti sil'notochnogo plazmennogo kanala v razryadnoj cepi generatora impul'snoj komponenty toka iskusstvennoj molnii // Elektrotehnika i elektromehanika. – 2011. – № 3. – S. 51-55. 8. Baranov M.I., Kravchenko V.I., Nosenko M.A. Eksperimental'nye issledovaniya elektrotermicheskoy stojkosti metallicheskikh elementov letatel'nogo apparata k pryamomu vozdejstviyu toka iskusstvennoj molnii. Chast' 2: Stojkost' mednyh provodov i kablej // Elektrotehnika i elektromehanika. – 2011. – № 2. – S. 46-55. 9. Baranov M.I., Koliushko G.M., Lysenko V.O. i dr. Eksperimental'naya ocenka elektricheskogo sопrotivleniya i elektroprovodnosti sil'notochnogo plazmennogo kanala v cepi razryada moschnogo generatora toka iskusstvennoj molnii // Elektrotehnika i elektromehanika. – 2011. – № 1. – S. 61-64.

Поступила 30.09.2011

Баранов Михаил Иванович, д.т.н., с.н.с.,  
Лысенко Виталия Олеговна  
НИПКИ "Молния"  
Национального технического университета  
"Харьковский политехнический институт"  
61013, Харьков, ул. Шевченко, 47  
тел. (057) 7076841, e-mail: eft@kpi.kharkov.ua

Baranov M.I., Lysenko V.O.  
**Experimental research on pine wood samples destruction under direct action of artificial lightning heavy pulse currents.**

The paper presents results of full-scale experiments on electrodynamic destruction of "living" and "dead" pine wood samples under direct action of heavy-current plasma channel of a spark discharge with artificial lightning heavy pulse currents.

**Key words – pine wood, artificial lightning, heavy pulse current, destruction.**